

面内曲げとせん断をうける長方形板の面外有限変形

大阪大学工学部 正会員 前田幸雄
 大阪大学工学部 正会員 大倉一郎
 大阪大学工学部 学生員 松井幹雄

1. まえがき 著者らは、繰り返し荷重をうける薄肉プレートガーダーのウェブの面外変形に起因する疲労きれつを解明するため、ウェブを面内荷重をうける長方形板にモデル化し、この面外変形と疲労きれつの発生原因である境界辺に生ずる2次曲げ応力の関係を調べてきた。これまでには、純面内曲げをうける場合と純せん断をうける場合について^{1), 2), 3)} 解析を行なってきた。本報告は、面内曲げとせん断を同時にうける正方形板の面外有限変形を有限要素法により解析したので、以下に発表する。

2. 解析条件 計算対象は、図-1に示すように、 $a \times a$ の正方形板で次式で定義される初期たわみを有している。

$$w_0/a_0 = 0.1 \sin(m\pi x/a) \sin(n\pi y/a) \quad (1)$$

ここに、 a_0 は板厚であり、本報告では、 x 軸方向の初期たわみモード m と y 軸方向の初期たわみモード n の組み合せによって与えられる初期たわみ形状をモード (m, n) と呼ぶ。要素分割は、144 要素 169 節点である。境界条件は、面内方向に対して、辺 $x=0$ の x 軸方向と y 軸方向の変位を固定し、他の 3 辺を自由とし、面外方向に対して 4 辺固定支持とした。また、載荷条件は、辺 $x=a$ と辺 $y=0, a$ に一様分布のせん断応力が生じ、かつ辺 $x=a$ に直線分布の面内曲げ応力が生ずるように載荷した。

3. 面内曲げとせん断の組み合せ方法 面内曲げとせん断をうける 4 辺単純支持された長方形板の座屈応力を与える近似式が次のように与えられている。⁴⁾

$$(\sigma_{ocr}/\sigma_{ocr}^*)^2 + (\tau_{ocr}/\tau_{ocr}^*)^2 = 1 \quad (2)$$

ここに、 σ_{ocr} , τ_{ocr} : 面内曲げとせん断が同時に作用する場合の座屈時の面内曲げ応力とせん断応力、 σ_{ocr}^* , τ_{ocr}^* : 面内曲げとせん断がそれぞれ單独で作用する場合の座屈時の面内曲げ応力とせん断応力。式(2)が 4 辺固定支持された場合に対しても近似的に成立すると仮定する。すなわち、 σ_{ocr}^* , τ_{ocr}^* をそれぞれ 4 边固定支持された場合の座屈応力で置き換える。しかし、面内曲げについては 4 边固定支持に対するものがないので、載荷辺が単純支持で非載荷辺が固定支持のものと置き換える。したがって、正方形板に対して $\sigma_{ocr}^* = 39.7 \text{ Oe}$ $\tau_{ocr}^* = 14.58 \text{ Oe}$ (3) となる。ここに、 $\text{Oe} = E \pi^2 / \{12(1-\nu^2)(a/t_w)^2\}$, E : ヤング率, ν : ポアソン比。式(2)が与える関係を図-2 に示す。解析においては、図の円弧をおよそ 4 等分する点と原点を結ぶ線上に沿って荷重を増加させた。直線 A, B, C, D, E は、式(3)を用いて σ_{ocr}^* , τ_{ocr}^* を消去するとそれそれ次式になる。直線 A: $\sigma_0 = 0$, 直線 B: $\tau_0/\sigma_0 = 1$, 直線 C: $\tau_0/\sigma_0 = 1/3$, 直線 D:

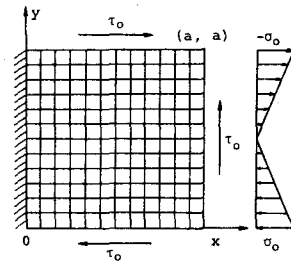


図-1 解析モデル

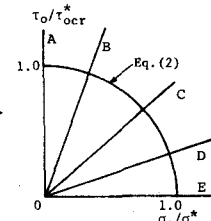
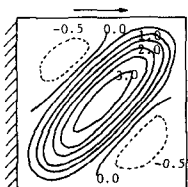


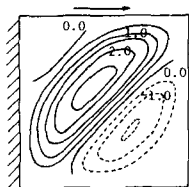
図-2 荷重の組み合せ

: $\tau_0/\sigma_e = 1/8$, 直線E: $\tau_0 = 0$.

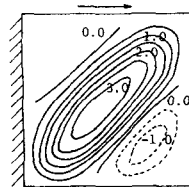
4. 面外たわみ形状 面外たわみ形状を図-3に示す。純せん断をうける場合、初期たわみモード(1,1)と(2,2)に対する面外たわみ形状と初期たわみモード(1,2)と(2,1)に対する面外たわみ形状とは異なる。前者の場合、対角線方向に1つの波が形成されるが、後者の場合、2つの波が形成される。せん断に面内曲げが加わると、面外たわみ形状は、初期たわみモードにかかわらず互いに類似した形状になる。面内曲げ作用が大きくなるにしおって、最大面外たわみの生ずる位置は圧縮側に移動する。



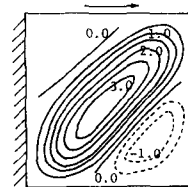
$\tau_0/\sigma_e = 33.28$
 $\sigma_0/\sigma_e = 0.0$
Initial deflection mode(1, 1)



$\tau_0/\sigma_e = 33.28$
 $\sigma_0/\sigma_e = 0.0$
Initial deflection mode(2, 1)



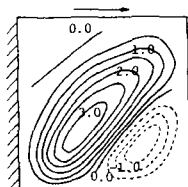
$\tau_0/\sigma_e = 33.28$
 $\sigma_0/\sigma_e = 33.28$
Initial deflection mode(1, 1)



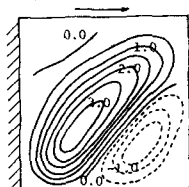
$\tau_0/\sigma_e = 33.28$
 $\sigma_0/\sigma_e = 33.28$
Initial deflection mode(2, 1)

(a) 直線Aに沿って荷重を増加させた場合

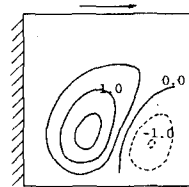
(b) 直線Bに沿って荷重を増加させた場合



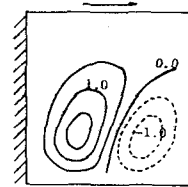
$\tau_0/\sigma_e = 28.0$
 $\sigma_0/\sigma_e = 84.0$
Initial deflection mode(1, 1)



$\tau_0/\sigma_e = 28.0$
 $\sigma_0/\sigma_e = 84.0$
Initial deflection mode(2, 1)



$\tau_0/\sigma_e = 9.0$
 $\sigma_0/\sigma_e = 72.0$
Initial deflection mode(1, 1)



$\tau_0/\sigma_e = 9.0$
 $\sigma_0/\sigma_e = 72.0$
Initial deflection mode(2, 1)

(c) 直線Cに沿って荷重を増加させた場合

(d) 直線Dに沿って荷重を増加させた場合

図-3 面外たわみ形状 $[(W_0 + W)/\tau_0]$

5. 2次曲げ応力の分布 各辺上に生ずる2次曲げ応力の分布は、面外変形に依存するため、純せん断をうける場合には、初期たわみモード(1,1)と(2,2)に対するものと初期たわみモード(1,2)と(2,1)に対するものとは異なるが、せん断に面内曲げが加わると、2次曲げ応力の分布は、各初期たわみモードにかかわらず互いに類似した分布になる。その一例を図-4に示す。

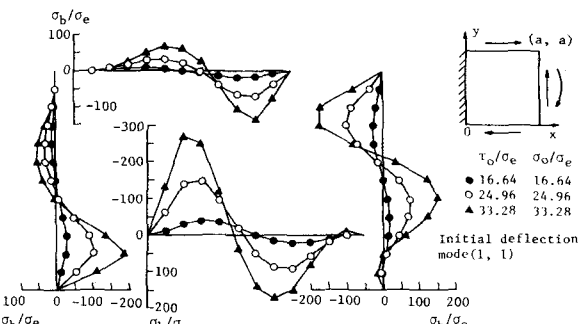


図-4 2次曲げ応力 (直線Bに沿って荷重を増加させた場合)

参考文献 1) 前田・大倉, 土木学会論文報告集, 第319号, 1982. 2) 吉井・前田・大倉, 年譜概要 I-126, 1981. 3) Maeda, Y., I. Okura and M. Yoshii, Technol. Repts. Osaka Univ., Vol.32, 1982.

4) Bleich, F.: Buckling Strength of Metal Structures, pp.407-408, 1952.